

DOI: 10.3872/j.issn.1007-385x.2019.04.005

· 基础研究 ·

AMPK α 过表达对膀胱癌 T24 细胞增殖、侵袭和 EMT 的抑制作用及其机制

王晓娟¹, 管庆军², 李新强¹, 张敏¹, 刘俊启³ (1. 郑州大学第一附属医院 病理科, 河南 郑州 450052; 2. 郑州人民医院 泌尿外科, 河南 郑州 450000; 3. 郑州大学第一附属医院 放疗科, 河南 郑州 450052)

[摘要] **目的:** 探讨 AMP 依赖的蛋白激酶 α (AMP-activated protein kinase α , AMPK α) 过表达对膀胱癌 T24 细胞增殖、迁移、侵袭和 EMT 的作用及其机制。 **方法:** 建立 AMPK α 过表达的膀胱癌 T24 细胞株, 依据转染质粒的不同分为 T24 空白组、pc-DNA 空载组和 pc-AMPK α 组。用 Wb 检测 T24 细胞 AMPK α 、EMT 相关蛋白及 EMT 通路相关分子的表达水平, 用 Hoechst 染色法检测转染后 T24 细胞的凋亡, CCK-8 法检测 T24 细胞的增殖, 细胞划痕愈合实验检测 T24 细胞的迁移, Transwell 实验检测细胞的侵袭。 **结果:** 成功构建 AMPK α 过表达的膀胱癌 T24 细胞株。与 T24 空白组和 pc-DNA 空载组比较, pc-AMPK α 组 T24 细胞上皮钙黏蛋白水平显著升高 ($P < 0.01$)、波形蛋白和神经钙黏蛋白表达水平显著降低 (均 $P < 0.01$), EMT 通路相关信号分子 P38、STAT3 活性受到显著抑制 (均 $P < 0.01$), 细胞发生明显凋亡、增殖能力显著减弱 (均 $P < 0.01$); T24 细胞迁移和侵袭能力显著降低 (均 $P < 0.01$)。 **结论:** AMPK α 过表达可使 EMT 通路相关分子活性受到抑制, 使得膀胱癌 T24 细胞发生明显凋亡、增殖受限并使其侵袭和迁移能力降低及伴随 EMT 的逆转。

[关键词] AMP 依赖的蛋白激酶 α ; 膀胱癌; T24 细胞; 增殖; 迁移; 侵袭; 凋亡; 上皮间质转化

[中图分类号] R737.14; R730.23 [文献标识码] A [文章编号] 1007-385X(2019)04-0396-06

Inhibitory effect and mechanism of AMPK α over-expression on proliferation, invasion and EMT of bladder cancer T24 cells

WANG Xiaojuan¹, GUAN Qingjun², LI Xinqiang¹, ZHANG Min¹, LIU Junqi³ (1. Department of Pathology, the First Affiliated Hospital of Zhengzhou University, Zhengzhou 450052, Henan, China; 2. Department of Urology Surgery, People's Hospital of Zhengzhou, Zhengzhou 450000, Henan, China; 3. Department of Radiotherapy, the First Affiliated Hospital of Zhengzhou University, Zhengzhou 450052, Henan, China)

[Abstract] **Objective:** To investigate the effect and mechanism of AMP-activated protein kinase α (AMPK α) over-expression on proliferation, migration, invasion and epithelial mesenchymal transition (EMT) of bladder cancer T24 cells. **Methods:** A bladder cancer T24 cells over-expressing AMPK α was established and divided into T24 group, pc-DNA group and pc-AMPK α group according to different plasmid transfection. Western blotting was used to verify the over-expression of AMPK α and detect the expressions of EMT-related proteins and EMT pathway-related molecules. Hoechst staining was used to detect apoptosis of transfected T24 cells. CCK8 assay was used to detect cell proliferation. Cell scratch test was used to detect cell migration. Transwell assay was used to detect cell invasion. **Results:** The bladder cancer cell line T24 over-expressing AMPK α was successfully constructed. Compared with the T24 group and the pc-DNA group, the level of E-cadherin in the pc-AMPK α group was significantly increased ($P < 0.01$) while the levels of Vimentin and N-cadherin were significantly decreased (all $P < 0.01$), and the activities of P38 and STAT3 which related to EMT pathway were significantly inhibited (all $P < 0.01$); cell proliferation, migration and invasion were significantly decreased while cell apoptosis was obviously enhanced (all $P < 0.01$). **Conclusion:** Over-expression of AMPK α can inhibit the activity of EMT pathway-related molecules, which leads to obvious apoptosis, limited proliferation, reduced invasion and migration of bladder cancer T24 cells, and accompanied by the reversal of EMT.

[Key words] AMP-activated protein kinase α (AMPK α); bladder cancer; T24 cell; proliferation; migration; invasion; apoptosis; epithelial-mesenchymal transition (EMT)

[Chin J Cancer Biother, 2019, 26(4): 396-401. DOI: 10.3872/j.issn.1007-385X.2019.04.005]

[基金项目] 河南省医学科技攻关基金资助项目(No.201702119)。Project supported by the Medical Science and Technology Foundation of Henan Province (No.201702119)

[作者简介] 王晓娟(1979-), 女, 硕士, 主治医师, 主要从事泌尿系统肿瘤的临床治疗研究, E-mail: anding30567@sina.com

[通信作者] 刘俊启(LIU Junqi, corresponding author), 博士, 主治医师, 主要从事恶性肿瘤放疗和基因治疗研究, E-mail: jqliu2@yahoo.com

膀胱癌(bladder cancer)是泌尿系统最常见的恶性肿瘤之一^[1]。膀胱癌具有细胞恶性增生以及全身转移的特点^[2],95%患者具有高转移性^[3]。EMT是指在胚胎发育、成体修复或者肿瘤进展过程中,紧密连接的上皮样细胞向间质样细胞转化,并伴有细胞迁移能力增加、黏附性降低等^[4-7];同时肿瘤细胞分泌大量细胞因子,使其在体内获得侵袭和迁移特性^[8-9],脱离原位的肿瘤细胞则会沿着血管、淋巴管等途径产生转移灶,给肿瘤治疗带来严重隐患。AMP 依赖的蛋白激酶 α (AMP-activated protein kinase α , AMPK α)是由 PRKAA1 基因编码的一个蛋白酶,在肿瘤细胞中,AMPK 可以通过抑制 mTOR 通路活性产生自噬依赖途径的肿瘤细胞死亡并抑制细胞增殖;还可以下调 P53-P21 通路促进细胞凋亡等^[10-12]。基于上述研究成果,AMPK 可以有效地促进肿瘤细胞发生凋亡,抑制细胞 EMT 及侵袭和迁移能力,因此本研究利用膀胱癌 T24 细胞过表达 AMPK α 来探究对膀胱癌细胞增殖、侵袭和 EMT 的作用及其机制,旨在为膀胱癌的治疗提供新的治疗靶点。

1 材料与方法

1.1 细胞株及主要试剂

膀胱癌细胞株 T24 购自国家实验细胞资源共享平台。DMEM 培养基、胎牛血清和胰酶均购自美国 Gibco 公司,Hoechst 33342 染色试剂盒购自 Abcam 公司,结晶紫染液、转染试剂盒 Lipofectamine™ 3000 购自 Thermo 公司,pc-DNA 购自 Addgene 公司,AMPK α 、上皮钙黏蛋白(E-cadherin)、波形蛋白(vimentin)、神经钙黏蛋白(N-cadherin)、P38、P-P38、STAT3、P-STAT3、P65、P-P65、GAPDH 一抗购自美国 Abcam 公司,HRP 标记的山羊抗小鼠二抗购自美国 Santa Cruz 公司。

1.2 细胞培养及转染

将膀胱癌 T24 细胞悬浮于含有 10% 胎牛血清和 1% 青链霉素的 DMEM 培养基中,置于 37 °C、5% CO₂ 的恒温培养箱中培养。镜下观察细胞生长状态,当细胞汇合度达 80% 以上时进行消化传代。

T24 细胞铺板 24 h 后换液,分为 T24 细胞空白对照组(T24 组)、pc-DNA 组和 pc-AMPK α 组。转染 48 h 后,收集细胞待用(CCK8、Hoechst 染色等处理直接铺板)。荧光显微镜下($\times 200$)随机挑选 5 个视野进行观察并计算细胞瞬时转染率。

1.3 CCK-8 法检测膀胱癌 T24 细胞的增殖

将经转染的对数生长期膀胱癌 T24 细胞铺于 96 孔板(细胞密度为 5×10^3 个/孔),每组设置 3 个重复,共铺 5 个板。对第 1 个 96 孔板:待细胞贴壁后加入

10 μ l CCK-8 溶液,轻轻混匀,培养 4 h 后测定波长 450 nm 处的光密度(D)值。以后每隔 24 h 处理一个细胞板,进行参数统计,并计算细胞的增殖水平。计算方法:24 h 时间点的细胞增殖倍数= D_{24h}/D_{0h} ,48 h 时间点的细胞增殖倍数= D_{48h}/D_{0h} ,以此类推。

1.4 Hoechst 染色法检测膀胱癌 T24 细胞的凋亡

对转染过的膀胱癌细胞培养 48 h 后进行染色处理:吸尽培养液后加入 0.5 ml 固定液固定 10 min,去除固定液用 PBS 洗 2 次(3 min/次),加入 0.5 ml 的 Hoechst 染色液染色 5 min,用 PBS 洗 2 次(3 min/次),滴加抗荧光淬灭封片液,盖上盖玻片,于荧光显微镜下观察细胞的凋亡情况,计算细胞的凋亡率。细胞凋亡率=阳性细胞(深度着色细胞)/总细胞数 $\times 100\%$ 。

1.5 Wb 检测膀胱癌 T24 细胞中上皮钙黏蛋白、神经钙黏蛋白和波形蛋白的表达

各组细胞处理结束后,用 PBS 清洗 3 次,用添加有终浓度为 1 mmol/L 的蛋白酶抑制剂苯甲基磺酰氟(PMSF)的细胞裂解液进行裂解,提取各组细胞总蛋白。用 BCA 试剂盒检测总蛋白浓度,10% SDS-PAGE 后转至 PVDF 膜,5% 脱脂牛奶室温封闭蛋白 2 h,后加入一抗(AMPK α , 1:700; E-cadherin, 1:800; N-cadherin, 1:600; Vimentin, 1:800; P38, 1:1 000; P-P38, 1:500; STAT3, 1:800; P-STAT3, 1:500; P65, 1:800; P-P65, 1:400)于 4 °C 封闭过夜。第 2 天加入相应的山羊抗小鼠二抗(1:10 000)室温封闭 1 h,最后滴加 ECL 曝光显影显色并检测灰度值,计算蛋白相对表达量。

1.6 细胞划痕实验检测膀胱癌 T24 细胞的迁移能力

接种 T24 细胞,12 h 后进行相应处理组转染,待转染细胞汇合度达 90%(约 36 h)时,使用小号枪尖在细胞均匀区域划线,经 PBS 清洗漂浮细胞后加入正常培养基,0 h 拍照 1 次,24 h 后再次原视野拍照,计算细胞的迁移率。细胞迁移率=(原划痕间距-终划痕间距)/原划痕间距 $\times 100\%$ 。

1.7 Transwell 实验检测膀胱癌 T24 细胞的侵袭能力

接种 T24 细胞 12 h 后,进行相应处理组转染,24 h 后消化细胞,并进行计数,使用无血清培养基悬浮后,以 6×10^4 个/孔细胞加入预先使用基质胶处理后的 Transwell 小室中,每组 3 个复孔,轻轻混匀,下室加入正常培养基,培养 24 h 后,用棉签将 Transwell 小室内细胞轻轻擦拭掉,并用 4% 多聚甲醛溶液固定小室下层细胞,0.1% 结晶紫染色 20 min 后,每组在显微镜下随机选取 5 个视野,计数侵袭细胞数目。

1.8 统计学处理

上述细胞增殖、凋亡、迁移、侵袭及蛋白检测等实验均重复 3 次。所有数据均用 SPSS 19.0 统计软件

进行统计分析。计量数据以 $\bar{x}\pm s$ 表示,组间比较采用 *t* 检验,多组间比较方差齐且服从正态分布的用 One-Way ANOVA,反之则用秩和检验。以 $P<0.05$ 或 $P<0.01$ 表示差异有统计学意义。

2 结果

2.1 成功构建 AMPK α 过表达膀胱癌 T24 细胞株

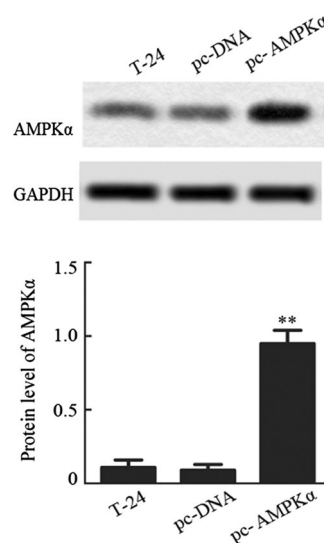
Wb 实验结果(图1)表明,pc-AMPK α 组 T24 细胞 AMPK α 蛋白的表达水平显著高于 T24 空白组和 pc-DNA 空载体组(均 $P<0.01$),而 T24 空白组和 pc-DNA 空载体组之间比较差异无统计学意义($P>0.05$)。

2.2 AMPK α 过表达上调上皮钙黏蛋白并下调神经钙黏蛋白和波形蛋白的表达

转染后细胞通过光学显微镜(图2A)下可见,pc-AMPK α 组 T24 细胞发生明显形态变化——呈 MET 形态变化,而 T24 空白组和 pc-DNA 空载体组 T24 细胞未发生相应的形态变化。

Wb 法检测结果(图2B)显示,与 T24 空白组和 pc-DNA 空载体组细胞比较,pc-AMPK α 组 T24 细胞上皮钙黏蛋白表达水平明显上调(均 $P<0.01$),神经钙黏蛋白和波形蛋白则发生显著下调(均 $P<0.01$);

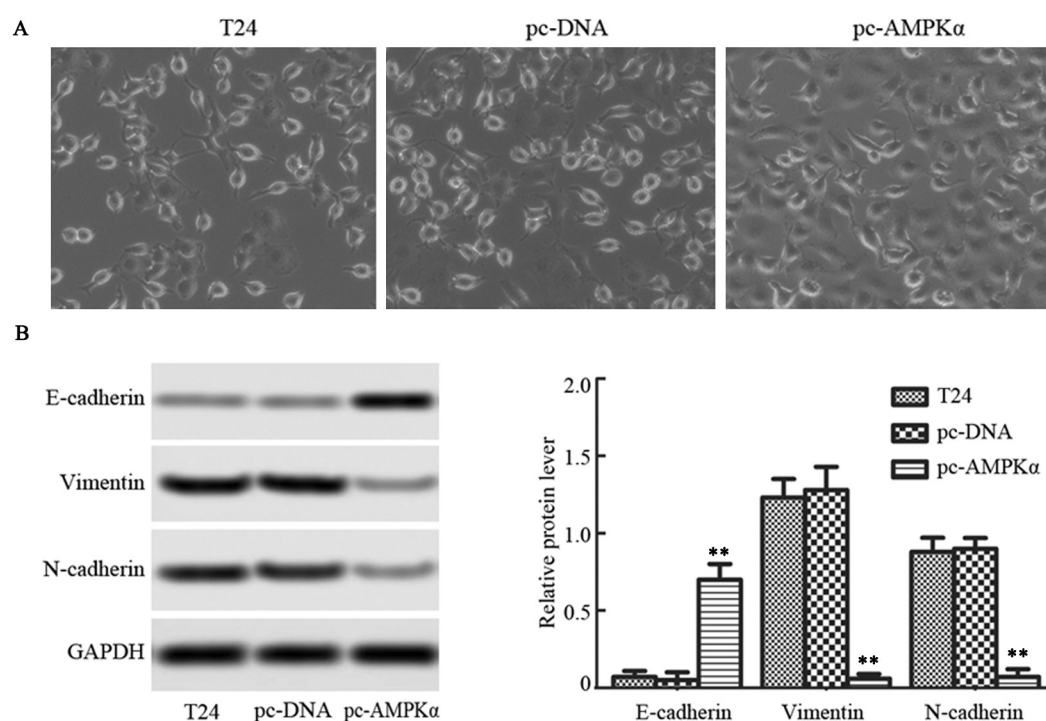
T24 空白组和 pc-DNA 空载体组之间比较,上述 3 种蛋白表达水平差异无统计学意义(均 $P>0.05$)。



** $P<0.01$ vs T-24 or pcDNA group

图1 各组膀胱癌 T24 细胞中 AMPK α 蛋白的表达

Fig. 1 Expression of AMPK α protein in bladder cancer T24 cells of each group



** $P<0.01$ vs T24 or pc-DNA group

图2 AMPK α 过表达对 T24 细胞的形态(A, $\times 200$)及 EMT 相关蛋白(B)表达的影响

Fig. 2 Effect of AMPK α over-expression on morphology (A, $\times 200$) and EMT related protein expression (B) of T24 cells

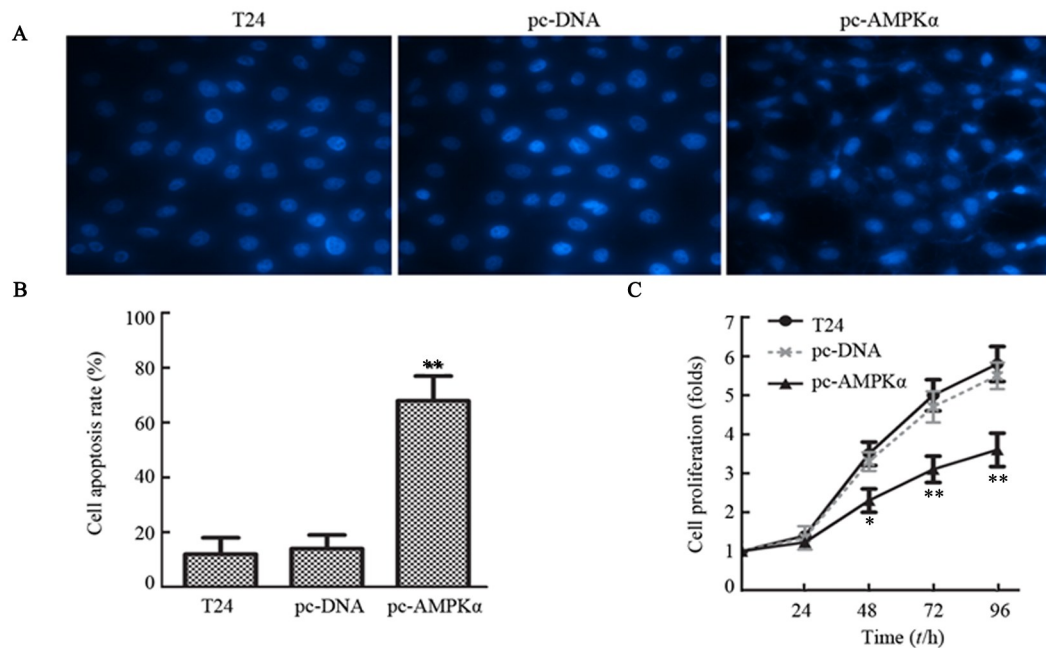
2.3 AMPK α 过表达促进 T24 细胞的凋亡并减弱细胞的增殖能力

T24 细胞转染 pc-AMPK α 后, Hoechst 染色结果

(图3A、B)发现,与 T24 空白组和 pc-DNA 空载体组相比,pc-AMPK α 组细胞体积缩小,染色质凝集,发生明显凋亡现象(均 $P<0.01$)。CCK-8 法检测结果(图3C)

显示, 培养 72 和 96 h 后, 与 T24 空白组和 pc-DNA 空载组相比, pc-AMPK α 组 T24 细胞增殖能力显著降低

(均 $P < 0.01$), 而 T24 空白组和 pc-DNA 空载组之间比较差异无统计学意义 ($P > 0.05$)。



* $P < 0.05$, ** $P < 0.01$ vs T24 or pc-DNA group

A and B: Cell apoptosis (Hoechst staining, $\times 200$); C: Cell proliferation

图3 AMPK α 过表达对 T24 细胞凋亡和增殖的影响

Fig. 3 Effects of AMPK α over-expression on apoptosis and proliferation of T24 cells

2.4 AMPK α 过表达促进 T24 细胞迁移与侵袭

细胞划痕实验结果(图4A)显示, 与 T24 空白组和 pc-DNA 空载组相比, pc-AMPK α 组细胞迁移能力显著下降(均 $P < 0.01$), T24 空白组和 pc-DNA 空载体组之间比较差异无统计学意义 ($P > 0.05$)。

Transwell 实验结果(图4B)显示, pc-AMPK α 组侵袭细胞数量显著少于 T24 空白组和 pc-DNA 空载体组(均 $P < 0.01$), 而 T24 空白组和 pc-DNA 空载体组之间比较差异无统计学意义 ($P > 0.05$)。

2.5 AMPK α 过表达降低 T24 细胞中 EMT 通路相关分子的激活水平

Wb 检测结果(图5)显示, pc-AMPK α 组 T24 细胞中 P-P38、P-STAT3 和 P-P65 激活水平显著低于 T24 空白组和 pc-DNA 空载体组(均 $P < 0.01$), 而 T24 空白组和 pc-DNA 空载体组之间比较差异无统计学意义 ($P > 0.05$)。

3 讨论

膀胱癌可引起血尿、疼痛等临床症状, 最终危及患者生命; 进行电切、膀胱灌注等治疗后仍有 40% 左右的复发率和近 95% 的转移率^[13-14]。虽然卡介苗灌注治疗可以控制高级别膀胱癌的复发和进展^[15-16], 但

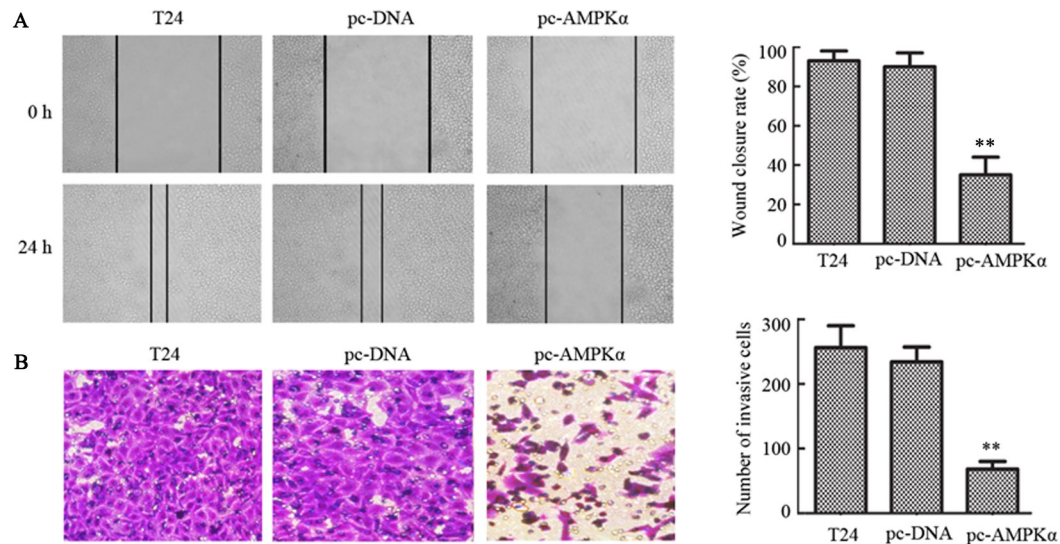
无法改善总生存率和肿瘤特异生存率^[17]。对于膀胱癌发生发展的分子机制尚不完全清楚。因此, 探究膀胱癌浸润、转移的分子机制对于其诊断和治疗尤为重要。

研究^[18]表明, EMT 过程在来源于上皮样恶性肿瘤发生进展的进程中非常关键。EMT 过程是一个复杂的多因素过程, 不但可以增强肿瘤细胞的侵袭和转移能力, 还可以对临床化疗药物产生耐药^[19]。本研究表明, 膀胱癌 T24 细胞过表达 AMPK α 后, 其细胞形态呈现表皮样转变, 同时有效抑制波形蛋白和神经钙黏蛋白的表达、促进上皮钙黏蛋白的表达。说明过表达 AMPK α 后可以有效地逆转膀胱癌 T24 细胞 EMT 过程。

AMPK 作为细胞代谢的核心调控者, 已被证明是肿瘤进展的主要障碍。STAVROS 等^[20]指出, 与 10 例非肿瘤组织样本比较, 在 40 例膀胱癌肿瘤样本中发现有 59% 的样本 AMPK $\alpha 2$ (AMPK α 亚基构成单位) 的表达水平被显著抑制; 并且证实, 与膀胱癌患者正常组织相比, 肿瘤组织中 AMPK $\alpha 2$ 表达水平也降低 68%。AMPK 的激活能有效抑制 TGF- β /Smad3、mTOR-STAT3/P38 通路来抑制肿瘤细胞增殖和促进凋亡发生^[21-23]; 同时 STAT3 通过

Snail、Twist等、P38通过激活MEK和Smad,两者均能诱导细胞发生EMT,从而增强细胞侵袭和迁移能力^[24-25]。本研究中细胞划痕和侵袭实验证实,AMPK α 过表达可以有效抑制膀胱癌T24细胞迁移和

侵袭能力;且过表达AMPK α 后,STAT3和P38的磷酸化水平均受到明显抑制,说明AMPK α 的上调可以显著降低P-STAT3和P-P38活性,从而影响肿瘤T24细胞增殖、凋亡及侵袭迁移能力。

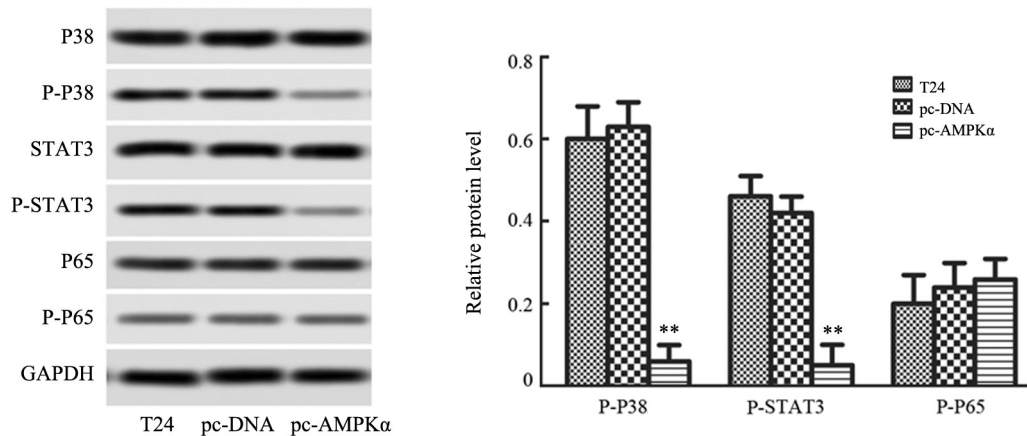


**P<0.01 vs T24 or pc-DNA group

A: Scratch healing assay; B: Transwell invasion assay (crystal violet staining, $\times 200$)

图4 AMPK α 过表达对T24细胞迁移与侵袭的影响

Fig. 4 Effect of AMPK over-expression on migration and invasion of T24 cells



**P<0.01 vs T24 or pc-DNA group

图5 AMPK α 过表达对T细胞中EMT相关通路分子表达的影响

Fig. 5 Effect of AMPK over-expression on the expression of EMT-related pathway molecules in T cells

综上,AMPK α 过表达对膀胱癌T24细胞增殖具有明显的抑制作用和凋亡促进作用;同时还可以有效地抑制T24细胞迁移、侵袭及EMT,这种对EMT抑制效果与STAT3和P38的磷酸化失活具有一定相关性。因此,靶向AMPK α 在膀胱癌治疗中具有重要意义。但AMPK激活后涉及的调控通路众多、复杂,明确具体信号转导机制并选择性阻断关键分子才能为临床靶向治疗膀胱癌提供一定的指导思路。

[参考文献]

[1] CARLSON A K, RAWLE R A, ADAMS E, et al. Application of global metabolomic profiling of synovial fluid for osteoarthritis biomarkers[J]. Biochem Biophys Res Commun, 2018, 499(2): 182-188. DOI:10.1016/j.bbrc.2018.03.117.
 [2] DIRVEN L, VAN DE POLL-FRANSE L V, AARONSON N K, et al. Controversies in defining cancer survivorship[J]. Lancet Oncol, 2015, 16(6): 610-612. DOI:10.1016/S1470-2045(15)70236-6.

- [3] BERTZ S, HARTMANN A, KNÜCHEL-CLARKE R, et al. Specific types of bladder cancer[J]. *Pathologie*, 2016, 37(1): 40-51. DOI: 10.1007/s00292-015-0129-5.
- [4] PHUA Y L, MARTEL N, PENNISI D J, et al. Distinct sites of renal fibrosis in Crim1 mutant mice arise from multiple cellular origins [J]. *Pathol*, 2013, 229(5): 685-696. DOI:10.1002/path.4155.
- [5] XIA P, XU X Y. Epithelial-mesenchymal transition and gastric cancer stem cell[J/OL]. *Tumour Biol*, 2017, 39(5): 1010428317698373 [2018-10-26]. <https://journals.sagepub.com/doi/full/10.1177/1010428317698373>. DOI:10.1177/1010428317698373.
- [6] SCIACOVELLI M, FREZZA C. Metabolic reprogramming and epithelial-to-mesenchymal transition in cancer[J]. *FEBS J*, 2017, 284(19): 3132-3144. DOI:10.1111/febs.14090.
- [7] LI L, LI W. Epithelial-mesenchymal transition in human cancer: comprehensive reprogramming of metabolism, epigenetics, and differentiation[J/OL]. *Pharmacol Ther*, 2015, 50: 33-46[2018-10-26]. <https://www.sciencedirect.com/science/article/pii/S0163725815000054>. DOI: 10.1016/j.pharmthera.2015.01.004.
- [8] HANAHAHAN D, WEINBERG R A. The hallmarks of cancer[J]. *Cell*, 2000, 100(1): 57-70. DOI: 10.1016/s0092-8674(00)81683-9.
- [9] HANAHAHAN D, WEINBERG R A. Hallmarks of cancer: the next generation[J]. *Cell*, 2011, 144(5): 646-674. DOI: 10.1016/j.cell.2011.02.013
- [10] KIM I, HE Y Y. Targeting the AMP-activated protein kinase for cancer prevention and therapy[J/OL]. *Front Oncol*, 2013, 3: 175[2018-10-26]. <https://www.ncbi.nlm.nih.gov/pmc/articles/PMC3711071/>. DOI:10.3389/fonc.2013.00175.
- [11] AGARWAL S, BELL C M, ROTHBART S B, et al. AMP-activated protein kinase (AMPK) control of MTORC1 is p53- and TSC2-independent in pemetrexed-treated carcinoma cells[J]. *J Biol Chem*, 2015, 290(46): 27473-2786. DOI: 10.1074/jbc.M115.665133.
- [12] CHANG V H, TSAI Y C, TSAI Y L, et al. Krüppel-like factor 10 regulates radio-sensitivity of pancreatic cancer via UV radiation resistance-associated gene[J]. *Radiother Oncol*, 2017, 122(3): 476-484. DOI:10.1016/j.radonc.2017.01.001.
- [13] SYLVESTER R J, VAN DER MEIJDEN A P, OOSTERLINCK W, et al. Predicting recurrence and progression in individual patients with stage Ta T1 bladder cancer using EORTC risk tables: a combined analysis of 2596 patients from seven eorte trials[J]. *Eur Urol*, 2006, 49(3): 466-465, discussion 475-477. DOI: 10.1016/j.eururo.2005.12.031.
- [14] KAMAT A M, HAHN N M, EFSTATHIOU J A, et al. Bladder cancer[J]. *Lancet*, 2016, 388(10061): 2796-2810. DOI:10.1016/S0140-6736(16)30512-8.
- [15] CAMBIER S, SYLVESTER R J, COLLETTE L, et al. EORTC nomograms and risk groups for predicting recurrence, progression, and disease-specific and overall survival in non-muscle-invasive stage Ta-T1 urothelial bladder cancer patients treated with 1-3 years of maintenance bacillus calmette-guerin[J]. *Eur Urol*, 2016, 69(1): 60-69. DOI:10.1016/j.eururo.2015.06.045.
- [16] SYLVESTER R J, BRAUSI M A, KIRKELS W J, et al. Long-term efficacy results of EORTC genito-urinary group randomized phase 3 study 30911 comparing intravesical instillations of epirubicin, Bacillus Calmette-Guérin, and Bacillus Calmette-Guérin plus isoniazid in patients with intermediate- and high-risk stage Ta T1 urothelial carcinoma of the bladder[J]. *Eur Urol*, 2010, 57(5): 766-773. DOI:10.1016/j.eururo.2009.07.054.
- [17] MALMSTROM P U, SYLVESTER R J, CRAWFORD D E, et al. An individual patient data meta-analysis of the long-term outcome of randomised studies comparing intravesical mitomycin C versus bacillus Calmette-Guérin for non-muscle-invasive bladder cancer[J]. *Eur Urol*, 2009, 56(2): 247-256. DOI:10.1016/j.eururo.2009.04.038.
- [18] YAO D, DAI C, PENG S, et al. Mechanism of the mesenchymal-epithelial transition and its relationship with metastatic tumor formation[J]. *Mol Cancer Res*, 2011, 9(12): 1608-1620. DOI: 10.1158/1541-7786.MCR-10-0568.
- [19] SINGHA, SETTLEMAN J. EMT, cancer stem cells and drug resistance: an emerging axis of evil in the war on cancer[J/OL]. *Oncogene*, 2010, 29(34): 4741-4751[2018-10-26]. <http://www.nature.com/doi/10.1038/onc.2010.215>. DOI:10.1038/onc.2010.215.
- [20] STAVROS K, KATIE L. S, ISHA G, et al. AMPK α 2 regulates bladder cancer growth through SKP2-mediated degradation of p27[J/OL]. *Mol Cancer Res*, 2016, 14(12): 1194[2018-10-26]. <https://www.ncbi.nlm.nih.gov/pmc/articles/PMC5136331/>. DOI:10.1158/1541-7786.MCR-16-0111.
- [21] JIANG S, CHEN R, YU J, et al. Clinical significance and role of LKB1 in gastric cancer[J]. *Mol Med Rep*, 2016, 13(1): 249-256. DOI:10.3892/mmr.2015.4508.
- [22] LI N, HUANG D, LU N, et al. Role of the LKB1/AMPK pathway in tumor invasion and metastasis of cancer cells (review)[J]. *Oncol Rep*, 2015, 34(6): 2821-2826. DOI:10.3892/or.2015.4288.
- [23] LIM J Y, OH M A, KIM W H, et al. AMP-activated protein kinase inhibits TGF- β -induced fibrogenic responses of hepatic stellate cells by targeting transcriptional coactivator p300[J]. *J Cell Physiol*, 2012, 227(3): 1081-1089. DOI:10.1002/jcp.22824.
- [24] LI B, HUANG C. Regulation of EMT by STAT3 in gastrointestinal cancer (Review) [J]. *Int J Oncol*, 2017, 50(3): 753-767. DOI: 10.3892/ijo.2017.3846.
- [25] LINDSEY S, LANGHANS S A. Crosstalk of oncogenic signaling pathways during epithelial-mesenchymal transition[J/OL]. *Front Oncol*, 2014, 4: 358[2018-10-26]. <https://www.ncbi.nlm.nih.gov/pmc/articles/PMC4263086/>. DOI:10.3389/fonc.2014.00358.

[收稿日期] 2018-11-28

[修回日期] 2019-02-13

[本文编辑] 党瑞山